

# 适用于 MPSK 调制的盲均衡技术\*

何 平

(西安电子科技大学信息工程系 西安 710071)

**摘要** 本文提出了适用于 MPSK 调制的盲均衡算法及其改进形式——变步长盲均衡算法。计算机模拟表明,这种均衡算法及其改进形式均具有良好的收敛特性,可保证通信系统连续工作而无需周期训练。但其误码性能略差于传统的 LMS 均衡算法。

**关键词** 盲均衡技术,调制,代价函数,变步长

## 1 引言

盲均衡器由于不再需要训练序列维持正常工作和防止失锁现象发生,故而受到广泛的注意。盲均衡算法最早由 Sato<sup>[1]</sup>于1975年提出,随后由 Godard 等人<sup>[2,3]</sup>一般化后形成 Godard 类盲均衡算法,主要适用于多电平系统(如 QAM 系统)。近年来,虽然有关盲均衡技术的研究已取得显著进展<sup>[4~7]</sup>,但均为 Godard 类盲均衡算法的改进形式,或对 Godard 盲均衡算法的进一步研究,其应用范围仍为 QAM 系统。MPSK 调制系统是一种应用极为广泛的数字调制方式,理论分析和模拟研究表明,Godard 类盲均衡算法对 MPSK 信号的均衡能力较差,已不能适用于采用 MPSK 调制的系统。

本文根据 MPSK 信号的特点,提出了适用于 MPSK 系统的盲均衡算法,理论分析和计算机模拟表明,该算法具有优良的收敛特性。

## 2 适用于 MPSK 信号的盲均衡算法

MPSK 信号为恒包络信号,信息存在于相位中,其复包络可写为

$$I_K = a_K + jb_K = A \exp(j\varphi_K), \quad (1)$$

其中  $A$  为常数,不失一般性可令  $A = 1$ ;  $j = \sqrt{-1}$  为虚单位。相位  $\varphi_K$  在  $M$  个值

$$\varphi_K = 2n\pi/M, \quad n = 0, 1, 2, \dots, M-1, \quad (2)$$

中随机等概选取。

在多径信道下,由于存在码间干扰,接收端需采用均衡器来消除码间干扰的影响。在传统的均衡算法中,如 LMS 算法,其代价函数为均衡器输出与发送信息之差的均方值,是发送信息瞬时值的函数。但对接收端来说,发送信息是未知的,故通常采用均衡器输出信号的判决信息来代替,故必然存在误码情况,尤其当信道发生深衰落或恶化时,代价函数

1994-04-16 收到,1995-06-07 定稿

\* 军事电子预研项目资助课题

何 平, 男,1962年生,博士,副教授,现从事数字通信方面(调制技术、自适应信号检测、编码、短波通信和卫星通信)的教学和研究工作。

将严重畸变,造成均衡器失锁或发散,使通信中断。传统均衡器则需定期训练或再启动,使系统复杂化,不利于信息的实时传输。

盲均衡技术则有效地克服了这种不利状况,这在于盲均衡算法中代价函数已不随发送信息的瞬时值变化,如 Godard 类算法<sup>[3]</sup>。基于 Godard 类盲均衡算法,并结合 MPSK 信号的特征,可构造适用于 MPSK 调制系统的新型盲均衡算法的代价函数为

$$J(K) \triangleq [1/(2M)] E[|I_K^M - Y_K^M|^2], \quad (3)$$

其中  $E[\cdot]$  表示求数学期望,

$$Y_K = \sum_{i=0}^N c_i X_{K+i} = C'(K)X(K), \quad (4)$$

为均衡器输出,

$$C'(K) = (c_0, c_1, \dots, c_N)$$

为均衡器抽头系数矢量,

$$X'(K) = (X_K, X_{K+1}, \dots, X_{K+N})$$

为均衡器输入信号,“ $'$ ”表示转置,除上下标外,均为复数。由于

$$I_K^M = A^M \exp(jM\varphi_K) = A^M = 1, \quad (5)$$

则(3)式可改写为

$$J(K) = [1/(2M)] E[|Y_K^M - 1|^2]. \quad (6)$$

可见代价函数已与发送信息的瞬时值无关。利用 LMS 算法,可推导出均衡器抽头系数  $C(K)$  的递推公式为

$$C(K+1) = C(K) - \mu \frac{\partial J(K)}{\partial C(K)}, \quad (7)$$

$$\frac{\partial J(K)}{\partial C(K)} = E[Y_K^{M-1}(Y_K^{*M} - 1)X(K)]. \quad (8)$$

当均衡器收敛后,  $J(K)$  变化缓慢,且很小,故可用其瞬时值代替,此时递推公式(7), (8)式可改写为

$$C(K+1) = C(K) - \mu [Y_K^{M-1}(Y_K^{*M} - 1)X(K)]. \quad (9)$$

式中,“ $*$ ”表示取复共轭,  $\mu$  为步长,决定了均衡器的收敛速度和稳态特性。

### 3 变步长盲均衡算法

众所周知,自适应均衡算法的目的就是通过不断地调整均衡器抽头系数  $C(K)$ ,而使代价函数  $J(K)$  达到最小值,以消除输出信号中的码间干扰。当系统处于理想状态时,应有

$$E[Y_K^M - 1] = 0. \quad (10)$$

然而在实际系统中,由于系统中各种不理想因素的影响,均衡器并非始终处于理想收敛状态,故(10)式不成立。另外在初始状态,均衡器处于跟踪状态,自然希望收敛速度快,这要求算法调整步长  $\mu$  大;而在稳定状态,则希望调整步长  $\mu$  小,以减少稳态误差。所以步长  $\mu$  应为可调的。由于(10)式在跟踪状态时,  $Y_K$  中存在大量干扰,故其值较大,而在稳定状态,则接近理想收敛状态,其值较小,为此定义

$$\mu(K) = \alpha |E[Y_K^M - 1]|. \quad (11)$$

实际计算中,(11)式中的求均值用算术平均值代替,即

$$\mu(K) = \alpha\lambda(K), \quad (12)$$

$$\lambda(K) = \frac{1}{N+1} \left| \sum_{i=0}^N \epsilon(K-i) \right|, \quad (13)$$

$$\epsilon(K) = Y_K^M - 1. \quad (14)$$

将(12)~(14)式代入盲均衡算法(9)式中,即得变步长盲均衡算法为

$$C(K+1) = C(K) - \alpha\lambda(K)[Y_K^{M-1}(Y_K^{*M} - 1)X(K)]. \quad (15)$$

$\alpha$  为比例因子,在(0,1)内取值.

#### 4 计算机模拟和结论

对上述盲均衡算法进行了计算机模拟,信道假设为具有三抽头的时不变多径模型,传输函数为

$$H(Z) = 0.3 + 0.9Z^{-1} + 0.3Z^{-2}. \quad (16)$$

均衡器为 11 抽头 ( $N = 10$ ) 横向滤波器,初值选取为

$$C(0) = 0. \quad (17)$$

图 1 和图 2 分别给出了 4 PSK 和 8 PSK 信号在信道信噪比为 10 dB 和 20 dB 时的

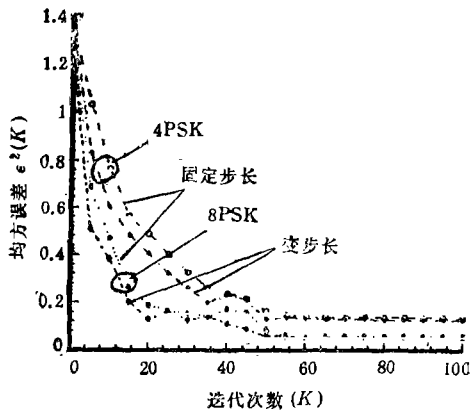


图 1 收敛性能 ( $S/N = 20$  dB)

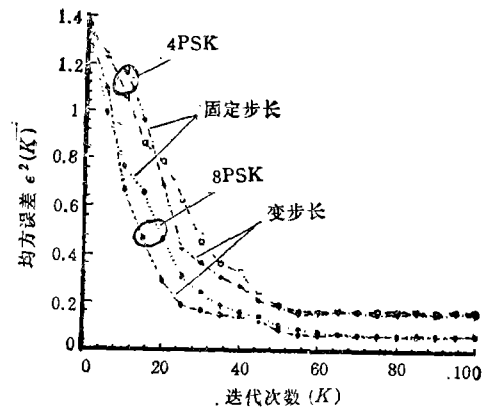


图 2 收敛性能 ( $S/N = 10$  dB)

收敛特性,即代价函数  $J(K)$  与迭代次数  $K$  的关系。由图示不难看出,盲均衡器的收敛特性与进制数  $M$  无关,即无论  $M$  为 4 或 8,其均在 50~60 个码之内收敛;收敛速度与信道信噪比  $S/N$  有关, $S/N$  越大,收敛速度越快。对不同的进制数  $M$ ,代价函数  $J(K)$  的稳态值不同,进制数  $M$  越大,稳态值越小。信道信噪比对稳态值影响不大,信噪比较小时,稳态值波动略大一些。从图中还可以看出,变步长盲均衡算法与固定步长盲均衡算法相比,二者非常接近,这是因为所选信道为时不变的,从而造成均衡器收敛后,代价函数基本上为一常数的缘故。而当信道为时变多径模型时,经模拟表明,变步长盲均衡算法明显优于固定步长盲均衡算法。

图 3 给出了上述信道参数下 8 PSK 信号的误码性能。为了便于比较,还给出了传统 LMS 均衡算法的模拟结果。由图示可以看出,盲均衡算法的误码性能差于传统的 LMS 均衡算法的性能。当信道信噪比  $S/N = 5$  dB 时,二者误码性能基本相同;而当  $S/N =$

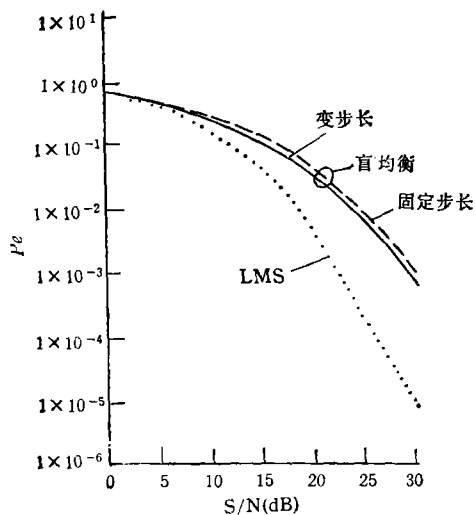


图3 误码性能 (8PSK 信号)

10dB 时, LMS 均衡算法优于盲均衡算法 1 倍(即误码率  $P_e$  约为盲均衡算法的 0.5 倍); 而当  $S/N=20$  dB 时, LMS 算法的误码性能约优于盲均衡算法 8 倍左右;  $S/N=30$  dB 时, 优于一个数量级以上。

综上所述, 本文提出的适用于 MPSK 信号的盲均衡算法具有优良的收敛特性, 即使信道信噪比很小, 如  $S/N \leq 5$  dB 时, 盲均衡算法仍可收敛。然而, 其误码性能则差于传统的 LMS 均衡算法, 主要原因是盲均衡算法中的代价函数已不再含有信号的瞬时特性。

## 参 考 文 献

- [1] Sato Y. IEEE Trans. on COM, 1975, COM-23 (6): 679--682.
- [2] Benveniste A, Goursat M. IEEE Trans. on COM, 1984, COM-32 (8): 871--883.
- [3] Godard D N. IEEE Trans. on COM, 1980, COM-28(11): 1867--1875.
- [4] Ross F J, Taylor D P. IEEE Trans. on COM, 1991, COM-39(5): 636--639.
- [5] Hatzinakos D, Nikias C L. IEEE Trans. on COM, 1991, COM-39(5): 669--681.
- [6] 庄建东, 等. 电子学报, 1992, 20(7): 28--35.
- [7] Weerackody V, Kassam S A. IEEE Trans. on COM, 1994, COM-42(1): 22--28.

## THE BLIND EQUALIZATION TECHNIQUE FOR MPSK MODULATION

He Ping

(Information Engineering Department, Xidian University, Xi'an 710071)

**Abstract** The blind equalization technique for MPSK signals is analysed and studied. A new blind equalization algorithm and the variable step-size blind equalization algorithm are presented. Computer simulations indicate that the new blind equalization algorithm and its improved form have a good convergence performance, so the communication systems can work continuously and do not require to be trained periodically.

**Key words** Blind equalization technique, MPSK modulation, Cost function, Variable step-size